

УДК 621.372.8

## РАСПРОСТРАНЕНИЕ ЛУЧЕЙ В ПЛАВНОНЕРЕГУЛЯРНЫХ ВОЛНОВОДАХ И ТЕОРИЯ ВОЗМУЩЕНИЙ ГАМИЛЬТОНОВЫХ СИСТЕМ

А. И. Нейштадт

Описан метод расчета распространения лучей в плоском плавнонерегулярном волноводе, основанный на классической теории возмущений гамильтоновых систем. С помощью этого метода рассмотрена задача о лучах в плавном переходе между регулярными волноводами.

Распространение лучей в плоском плавнонерегулярном волноводе может быть описано гамильтоновой системой, гамильтониан которой плавно зависит от играющей роль времени продольной координаты. Для приближенного интегрирования таких систем в классической механике имеется специальный аппарат — теория возмущений в переменных действие — угол [1, 2]. В работе описывается этот аппарат и результаты, к которым он приводит в задаче о плавном переходе между регулярными волноводами. Рассматриваются рефракционные волноводы и волноводы с отражающими стенками.

Распространение лучей в плавнонерегулярных волноводах рассматривалось в ряде работ, начиная с [3, 4], результаты изложены в [5], где приведены и нужные ссылки. Асимптотические методы, с помощью которых рассматривались рефракционные волноводы и волноводы с отражающими стенками, совершенно различны. Эти методы громоздки, так как не используют явно гамильтоновой формы уравнений. В них отсутствуют общие формулы для высших приближений.

Основные достоинства излагаемого ниже метода — простота, единообразие в рассмотрении рефракционных волноводов и волноводов с отражающими стенками, удобство в вычислении высших приближений.

**1. Гамильтониан исходной задачи.** Будем рассматривать плоские плавнонерегулярные волноводы, определяемые следующим образом.

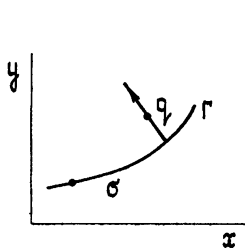


Рис 1.

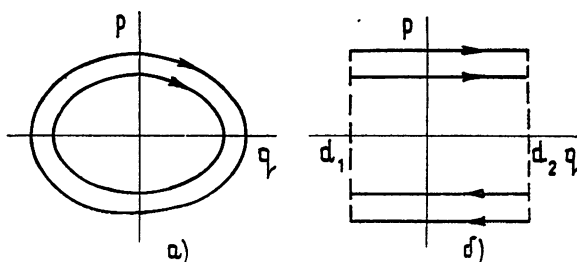


Рис 2.

Пусть на плоскости с декартовыми координатами  $(x, y)$  задана кривая  $\Gamma$  — ось волновода. Введем в окрестности  $\Gamma$  криволинейные координаты  $(\sigma, q)$ :  $\sigma$  — длина дуги  $\Gamma$  от фиксированной точки  $O$  до основания перпендикуляра, опущенного на  $\Gamma$  из точки  $(x, y)$ ,  $q$  — длина этого перпендикуляра (со знаком, рис. 1).

Рефракционный волновод с осью  $\Gamma$  называют плавнонерегулярным, если вдоль  $\Gamma$  плавно меняются угол  $\theta$  между касательной к  $\Gamma$  и осью  $x$  и коэффициент преломления среды  $n$ :  $\theta = \theta(\varepsilon\sigma)$ ,  $n = n(q, \varepsilon\sigma)$ , где  $\varepsilon$  — малый положительный параметр. В координатах  $(\sigma, q)$  распространение лучей описывается гамильтоновой системой с гамильтонианом

$$\Phi = p^2 + (1 - \varepsilon q \theta'(\varepsilon\sigma))^{-2} \eta^2 - n^2(q, \varepsilon\sigma),$$

где  $\eta$  и  $p$  — импульсы, сопряженные  $\sigma$  и  $q$ , штрих обозначает производную по  $\xi = \varepsilon\sigma$ , решения этой системы надо рассматривать на уровне энергии  $\Phi = 0$ . Независимая переменная, параметризующая лучи («время»), не входит в гамильтониан. Введем продольную координату  $\sigma$  в качестве новой независимой переменной («нового времени»). Тогда изменение  $p, q$  будет описываться гамильтоновой системой с гамильтонианом

$$H = -\sqrt{n^2(q, \xi) - p^2} + \varepsilon q \theta'(\xi) \sqrt{n^2(q, \xi) - p^2} \quad (\xi = \varepsilon\sigma), \quad (1.1)$$

зависящим от «медленного времени»  $\xi^*$ .

Плавнонерегулярный волновод с отражающими стенками определяется аналогично. Пусть стенки имеют в тех же координатах уравнения  $q = d_1(\xi)$  и  $q = d_2(\xi)$ ,  $d_1 < d_2$ . Распространение лучей описывается системой с гамильтонианом (1.1), в котором  $n = 1$  внутри волновода:

$$H = -\sqrt{1 - p^2} + \varepsilon q \theta'(\xi) \sqrt{1 - p^2}, \quad (1.2)$$

а от стенок происходит отражение.

**2. Переход к переменным действие — угол [1].** Для применения процедуры теории возмущений, описанной ниже в п. 3, необходимо перейти от переменных  $(p, q)$  к переменным действие — угол невозмущенной системы\*\*. Проведем этот переход сначала для гамильтониана (1.1). Невозмущенной будем называть систему с гамильтонианом  $H_0 = -\sqrt{n^2(q, \xi) - p^2}$ , в котором  $\xi$  — параметр, не меняющийся со временем. В волноводных задачах на фазовом портрете невозмущенной системы при каждом  $\xi$  есть область, заполненная замкнутой траекторией (рис. 2а). Движение фазовой точки по замкнутой траектории описывает колебания луча около оси регулярного волновода сравнения, в котором  $n$  и  $\theta$  не зависят от  $\sigma$ \*\*\*.

Введем переменные действие — угол невозмущенной задачи  $I, \varphi$  [1]. Зафиксируем значение  $\xi$ . Действие  $I = I(p, q, \xi)$  — это поделенная на  $2\pi$  площадь, ограниченная невозмущенной траекторией, проходящей через точку  $(q, p)$ . Угол  $\varphi = \varphi(p, q, \xi) \bmod 2\pi$  — это угловая координата вдоль невозмущенных траекторий:  $\varphi(p, q, \xi) = 2\pi t(p, q, \xi) / T(p, q, \xi)$ , где  $T(p, q, \xi)$  — период движения вдоль невозмущенной траектории, проходящей через точку  $(q, p)$ ,  $t(p, q, \xi)$  — время движения вдоль этой траектории от левой из точек пересечения траектории с осью  $p = 0$  до точки  $(q, p)$ . Можно разрешить эти формулы относительно  $p$  и  $q$ :

$$p = P(I, \varphi, \xi), \quad q = Q(I, \varphi, \xi). \quad (2.1)$$

Здесь  $I$  задает траекторию невозмущенной задачи,  $\varphi$  — точку на этой траектории, правые части  $2\pi$  — периодичны по  $\varphi$ . Сделаем замену по формулам (2.1) в исходной системе (1.1), где  $\xi$  уже меняется. Следуя [1], получим, что изменение  $I, \varphi$  описывается системой с гамильтонианом

\* Согласно известному рецепту аналитической механики [1],  $H \equiv -\eta$ , где  $\eta$  определяется из соотношения  $\Phi = 0$

\*\* Для волноводных задач эти переменные использовались в [6]

\*\*\* Невозмущенная система — математический эквивалент физического представления о волноводе сравнения.

$$H(I, \varphi, \xi) = H_0(I, \xi) + \varepsilon H_1(I, \varphi, \xi), \quad (2.2)$$

где  $H_0$  — это невозмущенный гамильтониан  $H_0$  (первое слагаемое в (1.1)), выраженный через  $I, \xi$ , а  $H_1$  имеет вид

$$H_1 = \frac{1}{\partial H_0^2 / \partial I} \left[ - \int_0^\varphi \frac{\partial n^2}{\partial \xi} d\varphi + \frac{\varphi}{2\pi} \int_0^{2\pi} \frac{\partial n^2}{\partial \xi} d\varphi \right] - Q(I, \varphi, \xi) \vartheta'(\xi) H_0(I, \xi). \quad (2.3)$$

(Сначала надо продифференцировать  $n^2(q, \xi)$  по  $\xi$ , а затем подставить  $q = Q(I, \varphi, \xi)$  из (2.1) и проинтегрировать по  $\varphi$ .)

*Пример 1.* Рассмотрим рефракционный волновод с плавно изменяющимся наклоном оси и квадратичным показателем преломления:

$$n^2(q, \xi) = a^2(\xi) - b^2(\xi)(q - c(\xi))^2.$$

Переменные  $I, \varphi$  задаются соотношениями [1]

$$I = \sqrt{2Ib} \sin \varphi, \quad q = c - \sqrt{2I/b} \cos \varphi. \quad (2.4)$$

Из (1.1), (2.4) получим

$$H_0 = -\sqrt{a^2 - 2Ib}, \\ H_1 = -[c' \sqrt{2Ib} \sin \varphi + Ib'/(2b) \sin 2\varphi] + \\ + \vartheta'[c - \sqrt{2I/b} \cos \varphi] \sqrt{a^2 - 2Ib}.$$

Для гамильтониана (1.2) переменные действие — угол вводятся по той же схеме. Фазовый портрет невозмущенной системы изображен на рис. 2б. Формулы (2.1) принимают вид

$$p = \frac{\pi I}{(d_2 - d_1)} \operatorname{sgn} \sin \varphi, \quad q = \begin{cases} d_1 + \varphi(d_2 - d_1)/\pi, & 0 \leq \varphi < \pi \\ 2d_2 - d_1 - \varphi(d_2 - d_1)/\pi, & \pi \leq \varphi < 2\pi \end{cases}. \quad (2.5)$$

Гамильтониан снова приводится к виду (2.2), где

$$H_0 = -\sqrt{1 - \pi^2 I^2 / (d_2 - d_1)^2}, \quad (2.6) \\ H_1 = -\frac{I}{d_2 - d_1} \left\{ \begin{array}{l} \varphi(d_2' - d_1') + \pi d_1' \quad 0 < \varphi < \pi \\ \varphi(d_2' - d_1') - \pi(2d_2' - d_1') \quad \pi < \varphi < 2\pi \end{array} \right\} \cdot \vartheta' q H_0.$$

Гамильтониан аналитичен по  $I$ , а по  $\varphi$ , вообще говоря, имеет разрывы при  $\varphi = 0$  и  $\varphi = \pi$ . Поэтому в правых частях уравнений Гамильтона для  $I$  стоят  $\delta$ -функции, и действие  $I$  при переходе через точки  $\varphi = 0, \pi$  (т. е. при отражении от стенок) изменяется скачком.

**3. Процедура теории возмущений.** Все результаты о распространении лучей будут получены в настоящей работе с помощью известной [2] процедуры асимптотического интегрирования системы с гамильтонианом (2.2). Опишем эту процедуру.

Сделаем в системе с гамильтонианом (2.2) каноническую близкую к тождественной замену переменных  $I, \varphi \rightarrow J, \psi$  с не определенной пока производящей функцией  $W = J\varphi + \varepsilon S(J, \varphi, \xi, \varepsilon)$ , где  $S$  —  $2\pi$  — периодическая функция  $\varphi$  с нулевым средним. Новые и старые переменные связаны (по определению производящей функции) соотношениями

$$I = J + \varepsilon \partial S / \partial \varphi, \quad \psi = \varphi + \varepsilon \partial S / \partial J. \quad (3.1)$$



Оборвем процедуру определения  $S, H$  на  $k$ -м шаге и рассмотрим замену переменных  $(I, \varphi) \rightarrow (J, \psi)$  с производящей функцией  $W = J\varphi + \varepsilon S(J, \varphi, \xi, \varepsilon)$ ,  $S = S_1 + \varepsilon S_2 + \dots + \varepsilon^{k-1} S_k$ . Тогда новый гамильтониан  $\bar{H}$  будет иметь вид

$$\bar{H}(J, \psi, \xi, \varepsilon) = \bar{H}_\Sigma(J, \xi, \varepsilon) + O(\varepsilon^{k+1}), \quad (3.7)$$

$$H_\Sigma = H_0 + \varepsilon \bar{H}_1 + \dots + \varepsilon^k H_k.$$

Отбрасывая последний член в (3.7), получим интегрируемую систему, в которой

$$J = \text{const}, \quad \psi = \psi_0 + \varepsilon^{-1} \int_0^\xi \frac{\partial \bar{H}_\Sigma(J, \lambda, \varepsilon)}{\partial J} d\lambda. \quad (3.8)$$

Рассматривая поправки к формулам (3.8), которые дает следующее приближение процедуры (3.6), видим, что эти формулы описывают поведение  $J$  с точностью  $O(\varepsilon^{k+1})$ , а  $\psi$  — с точностью  $O(\varepsilon^k)$  при изменении  $\xi \sim 1$ . Из соотношений (3.1) определяется с той же точностью поведение  $I, \varphi$ , а из формул (2.1) — лучи. Таким образом, решения исходной системы можно определить с любой степенной по  $\varepsilon$  точностью. Формулы (3.8) при  $k=0$  (т. е.  $J=I, \psi=\varphi$ ) называются адиабатическим приближением.

В процедуре (3.6) нигде не приходится дифференцировать  $H_1$  по  $\varphi$ . Поэтому она применима и для разрывного гамильтониана (2.6).

В дальнейшем будем обозначать  $\tilde{H}_1 = H_1 - \bar{H}_1$ ,  $H_{01} = H_0 + \varepsilon \bar{H}_1$ .

**4. Постановка задачи о распространении лучей через плавный переход между регулярными волноводами.** Пусть рассматриваемый волновод регулярен (т. е. его параметры не зависят от  $\xi$ ) при  $\xi < \xi_-$  и  $\xi > \xi_+$ ,  $\xi_\pm$  — постоянные. Будем предполагать, что параметры волновода ( $\Phi$  и  $n$  в (1.1) либо  $d_{1,2}$  в (1.2)) аналитичны по  $\xi$  при  $\xi_- < \xi < \xi_+$ , а при  $\xi = \xi_\pm$  непрерывны вместе с несколькими производными. Пусть теперь в левой регулярной части волновода ( $\xi < \xi_-$ ) распространяется семейство лучей, получаемое сдвигом вдоль оси волновода из одного луча. Требуется (см., например, [5]) описать распространение этого семейства в переходе и в правом регулярном волноводе.

Каждый луч в сечении  $\xi = \text{const}$  можно охарактеризовать точкой на плоскости  $(q, p)$ . Значение  $q$  задает точку выхода луча, значение  $p$  — его направление. В любом сечении  $\xi = \text{const}$  при  $\xi < \xi_-$  рассматриваемому семейству лучей соответствует замкнутая фазовая кривая невозмущенного гамильтониана (рис. 3а, рисунки приводятся для рефракционного волновода). Задача сводится к описанию эволюции этой кривой с изменением  $\xi$  при  $\xi > \xi_-$ .

Удобно проводить вычисления в переменных  $I, \varphi$ . Уравнение исходной кривой  $I = I_- = \text{const}$ . Пока  $\xi \leq \xi_-$ , эта кривая переходит при изменении  $\xi$  в себя. При любом  $\xi \in (\xi_-, \xi_+)$  из исходной кривой получается замкнутая кривая, вдоль которой  $I$  испытывает колебания порядка  $\varepsilon$  (рис. 3б). При  $\xi = \xi_+$  также получается некоторая замкнутая кривая (рис. 3в). Как будет показано ниже, вдоль этой кривой колебания  $I$  могут быть много меньше  $\varepsilon$ , амплитуда колебаний зависит от гладкости перехода в точках  $\xi_\pm$ . При дальнейшем изменении  $\xi$  каждая точка на рис. 3в будет двигаться по своей траектории невозмущенной системы. Если система нелинейна, то периоды движения по разным траекториям различны и при  $\xi \rightarrow +\infty$  образ исходной кривой будет стремиться заполнить всюду плотно кольцо на рис. 3в.

Аналогичная картина получается в случае бесконечно длинного перехода, когда  $\xi_\pm = \pm \infty$ , а параметры волновода на бесконечности

стабилизируются (при  $\xi \rightarrow \pm \infty$  функции  $\vartheta'(\xi)$  и  $n'(q, \xi)$  либо  $d'_{1,2}(\xi)$  стремятся к нулю, а интегралы от них сходятся). Здесь надо рассмотреть предельное поведение лучей при  $\xi \rightarrow \pm \infty$ .

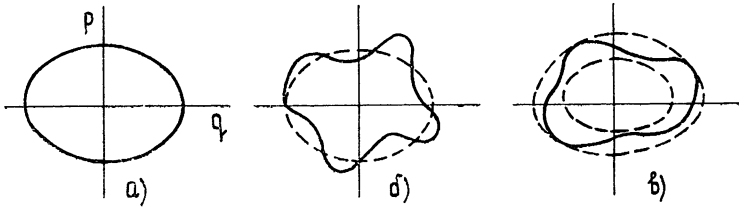


Рис. 3.

Ниже, в пп. 5—7, рассмотрены два вопроса: определение в главном приближении конгруэнции лучей на переходе, т. е. формы кривой на рис. 3б, и вычисление (или оценка) раскачки действия за переходом, т. е. границ кольца на рис. 3в.

**5. Конгруэнция лучей на переходе.** Пусть параметры волновода — гладкие функции  $\xi$ . Покажем, что конгруэнция лучей на переходе задается формулой

$$I = I_- - \varepsilon \tilde{H}_1(I_-, \varphi, \xi) [\partial H_0(I_-, \xi) / \partial I]^{-1} + O(\varepsilon^2), \quad (5.1)$$

$$\tilde{H}_1 = H_1 - \bar{H}_1.$$

Эта же формула справедлива и для бесконечно длинного перехода. Если параметры волновода непрерывны, но не являются гладкими при  $\xi = \xi_-$ , то конгруэнция описывается более сложной формулой, приведенной в следующем пункте.

Оборвем процедуру п. 3 на первом шаге. Новая переменная  $J$  определяется из соотношения

$$I \doteq J - \varepsilon \tilde{H}_1(J, \varphi, \xi) [\partial H_0(J, \xi) / \partial J]^{-1}. \quad (5.2)$$

При  $\xi = \xi_-$  для всех лучей нашего семейства  $J = I = I_-$ , так как для гладкого перехода  $H_1(I, \varphi, \xi_-) = 0$ . Вдоль луча  $J$  испытывает лишь колебания  $O(\varepsilon^2)$ . Подставляя в (5.2)  $J = I_- + O(\varepsilon^2)$ , получим (5.1).

*Пример 2.* Рассмотрим рефракционный волновод примера 1 п. 2. Из (5.2) получим уравнение конгруэнции на переходе

$$I = I_- + \varepsilon \left\{ \sqrt{a^2 - 2I_- b} [c' \sqrt{2I_- / b} \sin \varphi + I_- b' / (2b^2) \sin 2\varphi] + \vartheta'(a^2 - 2I_- b) \sqrt{2I_- / b^3} \cos \varphi \right\} + O(\varepsilon^2).$$

Подставив это соотношение в (2.4), получим параметрическое представление конгруэнции в переменных  $q, p$  [4].

*Пример 3.* Рассмотрим волновод с отражающими стенками. Из (2.6), (5.1) получим уравнение конгруэнции на переходе

$$I = I_- + \varepsilon \sqrt{1 - \frac{\pi^2 I_-^2}{(d_2 - d_1)^2}} \frac{d_2 - d_1}{\pi^2} \left\{ \varphi (d'_2 - d'_1) + \pi d'_1, 0 < \varphi < \pi \right\} - \varepsilon \vartheta' \frac{(d_2 - d_1)^3}{\pi^2 I_-} \left( 1 - \frac{\pi^2 I_-^2}{(d_2 - d_1)^2} \right) \left\{ -1/2 + \varphi/\pi, 0 < \varphi < \pi \right\} + O(\varepsilon^2).$$

Подставив это соотношение в (2.5), получим параметрическое представление конгруэнции в переменных  $q, p$ . Угол  $\gamma$  между направлением луча и осью волновода вычисляется по формуле  $\sin \gamma = \pi I / (d_2 - d_1)$ . Для прямолинейного симметричного волновода ( $\phi' = 0, d_2 = -d_1 = d(\xi)$ ) имеем

$$\tau = \arcsin \left( \frac{d(\xi_-)}{d(\xi)} \sin \gamma_- \right) + \varepsilon d'(\xi) \begin{cases} 2\varphi/\pi - 1, & 0 < \varphi < \pi \\ 2\varphi/\pi - 3, & \pi < \varphi < 2\pi \end{cases} + O(\varepsilon^2),$$

$$\sin \gamma_- = \pi I_- / (2d(\xi_-)).$$

При  $\varphi = +0, \pi + 0$  получаем отсюда известные [3] формулы для направления луча, отражающегося от стенки.

**6. Раскачка действия  $I$  за переходом конечной гладкости.** Пусть в точках  $\xi_{\pm}$   $m-1$  производных от параметров волновода по  $\xi$  непрерывна, а  $m$ -я производная терпит разрывы,  $m \geq 1$ . Обозначим

$$R(I, \varphi, \xi) = - \frac{1}{(\partial H_0(I, \xi) / \partial I)^m} \frac{\partial^{m-1}}{\partial \xi^{m-1}} L^{m-1} \tilde{H}_1(I, \varphi, \xi),$$

$$g_0(\xi) = \int_{\xi_-}^{\xi} \frac{\partial H_{01}(I_-, \lambda)}{\partial I} d\lambda, \quad g_1(\varphi, \xi) = \frac{\tilde{H}_1(I_-, \varphi, \xi_-)}{\partial H_0(I_-, \xi_-) / \partial I} \times$$

$$\times \int_{\xi_-}^{\xi} \frac{\partial^2 H_0(I_-, \lambda)}{\partial I^2} d\lambda, \quad (6.1)$$

$$F(\varphi_-) = R(I_-, \varphi_- + \varepsilon^{-1} g_0(\xi_+) + g_1(\varphi_-, \xi_+), \xi_+ - 0) -$$

$$- R(I_-, \varphi_-, \xi_- + 0),$$

где  $L$  — оператор (3.5). Покажем, что конгруэнция лучей при  $\xi = \xi_+$  имеет параметрическое представление

$$I = I_- + \varepsilon^m F(\varphi_-) + O(\varepsilon^{m+1}), \quad \varphi = \varphi_- + \varepsilon^{-1} g_0(\xi_+) +$$

$$+ g_1(\varphi_-, \xi_+) + O(\varepsilon). \quad (6.2)$$

Тогда раскачка  $I$  за переходом определяется формулой

$$\varepsilon^m \inf_{\varphi_-} F(\varphi_-) + O(\varepsilon^{m+1}) \leq I - I_- \leq \varepsilon^m \sup_{\varphi_-} F(\varphi_-) + O(\varepsilon^{m+1}).$$

Оборвем процедуру п. 3 на  $m$ -м шаге. Новая переменная  $J$  определяется из соотношения

$$I = J + \varepsilon \partial S(J, \varphi, \xi) / \partial \varphi, \quad S = S_1 + \varepsilon S_2 + \dots + \varepsilon^{m-1} S_m.$$

Анализ процедуры п. 3 показывает, что  $S_i(I, \varphi, \xi_{\pm}) = 0, i = 1, 2, \dots, m-1, \partial S_m(I, \varphi, \xi_{\pm} \mp 0) / \partial \varphi = R(I, \varphi, \xi_{\pm} \mp 0)$ . Вдоль луча при  $\xi_- < \xi < \xi_+$  величина  $J$  испытывает лишь колебания  $O(\varepsilon^{m+1})$ . Поэтому для решения  $I(\xi), \varphi(\xi)$  с начальным условием  $I(\xi_-) = I_-, \varphi(\xi_-) = \varphi_-$  получим

$$I(\xi_+) - \varepsilon^m R(I_-, \varphi(\xi_+), \xi_+ - 0) = I_- - \varepsilon^m R(I_-, \varphi_-, \xi_- + 0) + O(\varepsilon^{m+1}). \quad (6.3)$$

Для  $\varphi(\xi_+)$  из первого приближения процедуры п. 3 получим  $\varphi(\xi_+) = \varphi_- + \varepsilon^{-1} g_0(\xi_+) + g_1(\varphi_-, \xi_+) + O(\varepsilon)$ . Подставляя эту формулу в (6.3), получим (6.2).

*Замечания.* 1) Случаи  $m = 1$  и  $m \geq 2$  существенно различны. При  $m \geq 2$  будет  $H_1(I, \varphi, \xi_-) = 0$  и, следовательно,  $g_1 \equiv 0$ . Поэтому при  $m \geq 2$  в (6.2)  $\varphi = \varphi_- + \text{const} + O(\varepsilon)$  и конгруэнцию можно параметризовать углом  $\varphi$ . Отсюда легко вывести, что при  $\xi = \xi_+$  в каждую некаустическую точку приходят либо два луча (один сверху, один снизу), либо ни одного, как и до перехода. При  $m = 1$  значение  $\varphi$  в (6.2) не является, вообще говоря, монотонной функцией  $\varphi_-$  и при  $\xi = \xi_+$  в одну точку по близким направлениям могут приходиться несколько лучей.

2) Для  $m = 1$  конгруэнция лучей на переходе, при  $\xi \in (\xi_-, \xi_+)$ , задается формулой (6.2) с заменой  $\xi_+$  на  $\xi$ .

3) Формулу для  $F(\varphi_-)$  можно переписать в виде

$$\varepsilon^m F(\varphi_-) = - \int_{\xi_-}^{\xi_+} \frac{\partial H_1(I_-, \varphi_*(\xi), \xi)}{\partial \varphi} d\xi + O(\varepsilon^{m+1}), \quad (6.4)$$

$$\varphi_*(\xi) = \varphi_- + \varepsilon^{-1} g_0(\xi) + g_1(\varphi_-, \xi),$$

так как асимптотика при  $\varepsilon \rightarrow 0$  интеграла в (6.4) дается формулой (6.1).

4) Для конгруэнций за кусочно-аналитическими переходами, в которых волновод при  $\xi_- \leq \xi \leq \xi_+$  состоит из нескольких аналитических по  $\xi$  частей, непрерывно вместе с  $m - 1$  производными сопрягающихся друг с другом, остается справедливой формула (6.2), где  $\varepsilon^m F(\varphi_-)$  вычисляется согласно (6.4).

**7. О раскачке действия за бесконечно длинным аналитическим переходом.** Рассмотрим бесконечно длинный аналитический переход. Пусть  $I_{\pm}$  — предельные значения действия вдоль некоторого луча на концах перехода,  $\Delta I = I_+ - I_-$ . Процедура п. 3 позволяет для любого  $m > 0$  ввести переменную  $J$ , которая испытывает вдоль луча лишь колебания  $O(\varepsilon^m)$ , а на концах перехода  $J \rightarrow I$ . Поэтому  $\Delta I = O(\varepsilon^m)$ , т. е.  $\Delta I$  убывает при  $\varepsilon \rightarrow 0$  быстрее любой степени  $\varepsilon$ . Этот факт был обнаружен в [7]. В действительности, для рассматриваемого перехода раскачка  $\Delta I$  экспоненциально мала и известна оценка показателя экспоненты:

$$|\Delta I| < A(\varepsilon) \exp(-B/\varepsilon), \quad (7.1)$$

$$B = \min_{\xi_*} |\text{Im} \int_0^{\xi_*} \frac{\partial H_0(I_-, \xi)}{\partial I} d\xi|, \quad \lim_{\varepsilon \rightarrow 0} A(\varepsilon) \exp(-\delta/\varepsilon) = 0,$$

где минимум берется по всем особым точкам  $\xi_*$  функций  $H_1^{(n)}(I_-, \xi)$ ,  $n \geq 0$ , — коэффициентов Фурье  $H_1(I_-, \varphi, \xi)$  и функций  $H_0(I_-, \xi)$ ,  $(\partial H_0(I_-, \xi)/\partial I)^{-1}$  в плоскости комплексной переменной  $\xi$ , а  $\delta > 0$  — произвольная постоянная. Это утверждение высказывалось в ряде работ (см. обзор [8]), доказательство дано в [9]. (Приложение к [9], в котором доказывается (7.1), содержит неточности, но основной текст дает независимое доказательство этой оценки.)

Для асимптотики раскачки за аналитическими переходами отсутствует общая формула, аналогичная формуле п. 6. В случае линейных гамильтоновых систем такая асимптотика вычислена в [10]. Для одного важного класса нелинейных систем асимптотика найдена в [9], а метод [9] позволяет вычислять асимптотику и в ряде других случаев.

В [5, 11–14] рассматриваются формулы для раскачки, основанные на асимптотическом интегрировании уравнений метода поперечных сечений для поля в плавнерегулярном волноводе. Численные расчеты лучей [5, 11, 12] показывают, что для ряда примеров эти формулы дают правильный показатель экспоненты и численно близкий к правильному предэкспоненциальный множитель. Другие формулы предложены



в [15-17], они оказываются грубее, причины их погрешности рассмотрены в [11, 12]. В [5, 11, 12] приведены результаты сравнения различных оценок раскачки с численными расчетами лучей для ряда значений  $\epsilon$ .

Автор благодарит В. И. Арнольда за предложенную тему, В. А. Боровикова за внимание к работе, полезное обсуждение и советы.

#### ЛИТЕРАТУРА

1. Ландау Л. Д., Лифшиц Е. М. Механика. — М.: Наука, 1973.
2. Пуанкаре А. Новые методы небесной механики. Т. 2. В кн.: А. Пуанкаре. Избранные труды. — М.: Наука, 1971. — Т. 1.
3. Кинбер Б. Е., Мальцев Н. Е., Токатлы В. И. — Радиотехника и электроника, 1970, 15, № 12, с. 2512.
4. Тинин М. В. — В сб.: Исследования по геомагнетизму, аэрономии и физике Солнца. — М.: Наука, 1976, 39.
5. Боровиков В. А., Попов А. В. — В сб.: Прямые и обратные задачи теории дифракции. — М.: ИРЭ АН СССР, 1979.
6. Шатров А. Д. — Изв. вузов — Радиофизика, 1977, 20, № 8, с. 1153.
7. Lepad A. — Ann. Phys., 1959, 6, № 3, p. 261.
8. Дыхне А. М., Покровский В. Л. — Изв. СО АН СССР, 1962, 10, с. 38.
9. Слуцкий А. А. — ЖЭТФ, 1963, 45, вып. 4, с. 978.
10. Дыхне А. М. — ЖЭТФ, 1960, 38, вып. 2, с. 570.
11. Боровиков В. А. Препринт ИПМ АН СССР № 99, М., 1978.
12. Боровиков В. А., Владимиров Ю. В. — Акуст. журн., 1981, 27, № 1, с. 56.
13. Боровиков В. А. — В сб.: Доклады на IX Всесоюзной акустической конференции. Секция А. — М.: АН СССР, 1977.
14. Боровиков В. А. — Радиотехника и электроника, 1978, 23, № 7, с. 1365.
15. Кинбер Б. Е., Кравцов Ю. А. — Радиотехника и электроника, 1977, 22, № 12, с. 2470.
16. Кинбер Б. Е., Комиссарова Н. Н., Кравцов Ю. А. — Изв. вузов — Радиофизика, 1979, 22, № 4, с. 414.
17. Кинбер Б. Е., Кравцов Ю. А., Салганик М. П. — Радиотехника и электроника, 1979, 24, № 9, с. 1721.

Всесоюзный научно-исследовательский институт медицинского приборостроения

Поступила в редакцию  
4 августа 1980 г.,  
после сокращения  
20 мая 1981 г.

#### PROPAGATION OF RAYS IN SMOOTHLY UNREGULAR WAVEGUIDES AND THE THEORY OF DISTURBANCES OF HAMILTONIAN SYSTEMS

*A. I. Neishtadt*

Based on the classical theory of disturbances of Hamiltonian systems a method is described for the calculation of the ray propagation in a plane smoothly unregular waveguide. Using this method a problem is considered on rays in the smooth transition between regular waveguides.

---